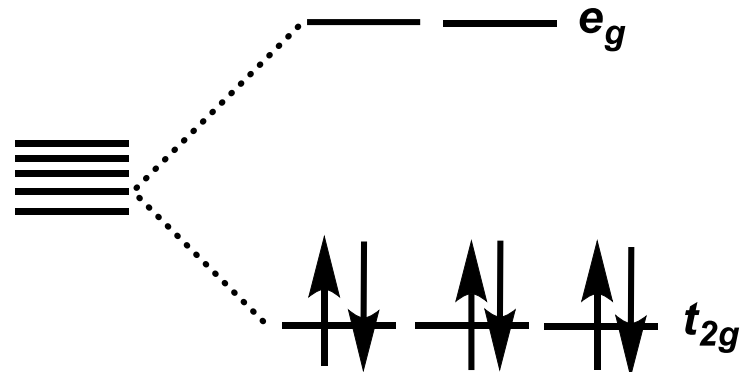
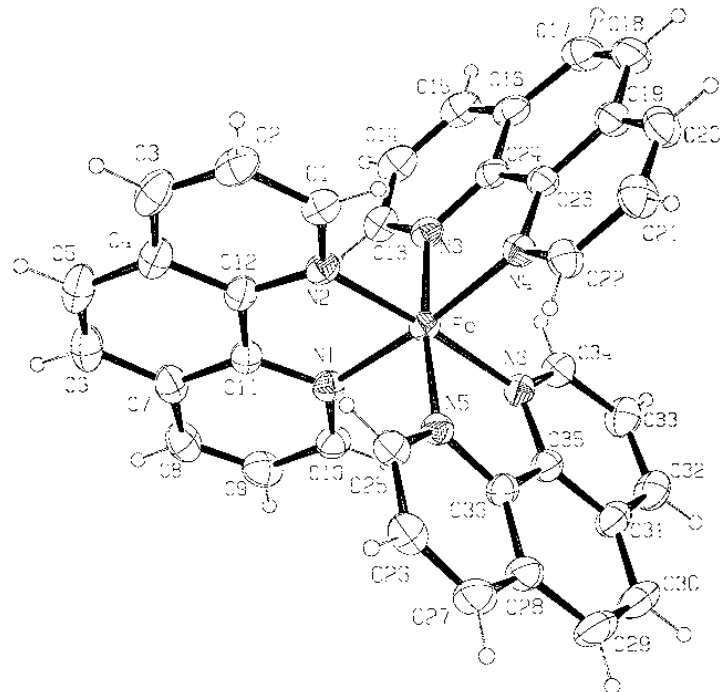


ESPERIENZA 5

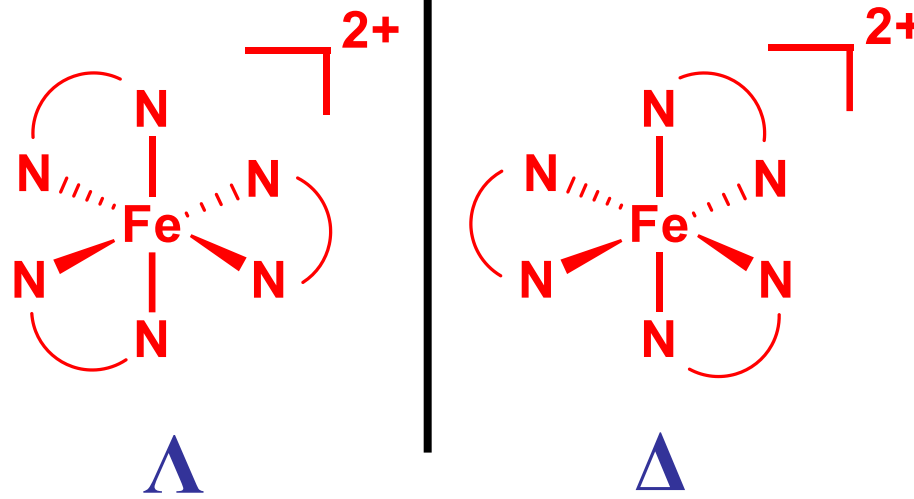
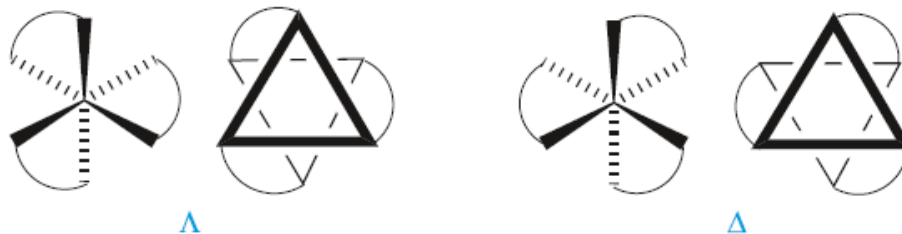
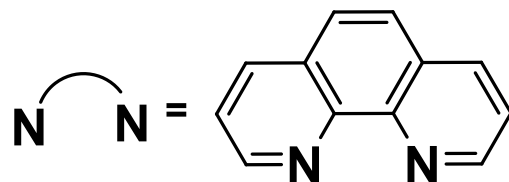
Sintesi di complessi ottaedrici omolettici di ferro con leganti bidentati a base di 1,10-fenantrolina



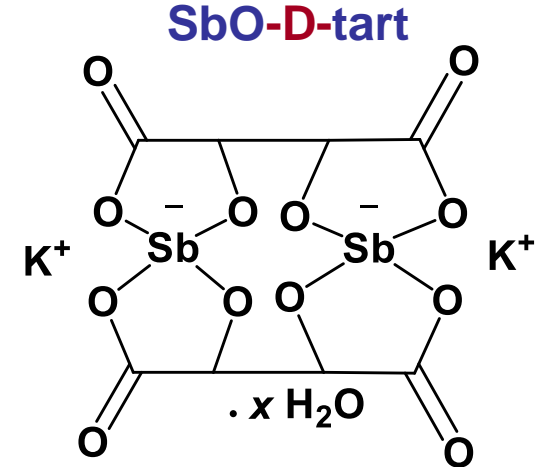
**d^6 , diamagnetico
basso spin**

Geometria ottaedrica

Isomeria ottica in complessi ottaedrici



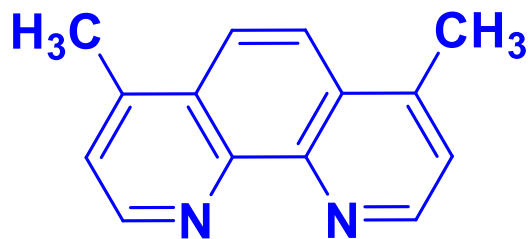
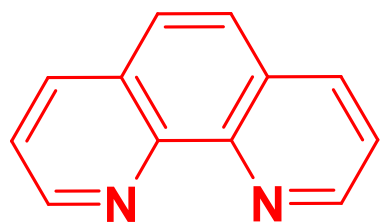
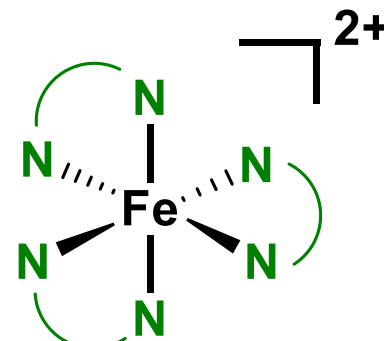
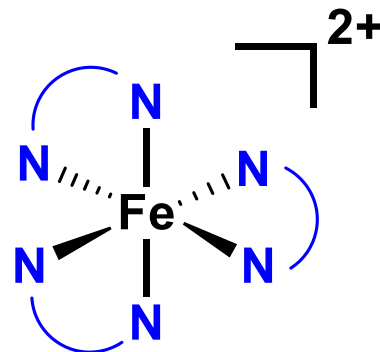
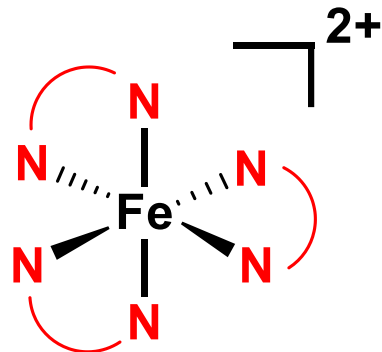
Risoluzione della miscela racemica
 $[\text{Fe}(\text{phen})_3]^{2+}$ nei suoi due enantiomeri può
essere ottenuta attraverso uno scambio di
controione utilizzando un sale
enantiometricamente puro (es. SbO-D-tart)



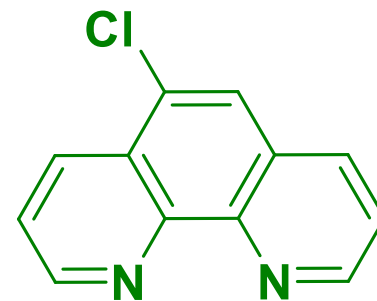
Tecniche di caratterizzazione

- **Spettroscopia NMR**, confronto degli spettri della serie di complessi di Fe (^1H , ^{13}C)
- **Voltammetria ciclica (CV)**, per lo studio dell'effetto elettronico dei sostituenti della 1,10-fenantrolina sul potenziale redox $\text{Fe}^{\text{III}}/\text{II}$

EFFETTO ELETTRONICO dei sostituenti sul legante

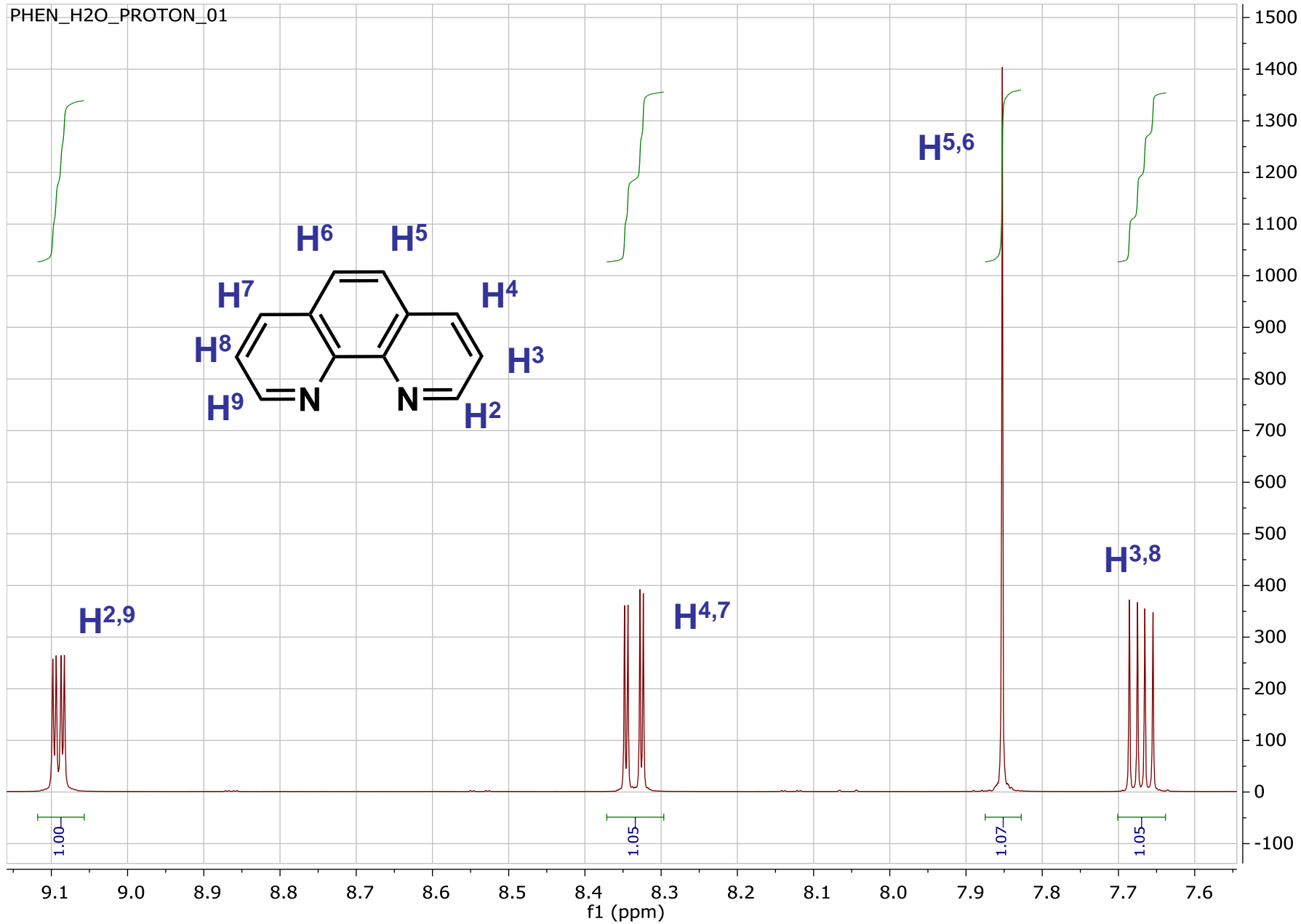


**Sostituente
elettron-donatore
(EDG)**

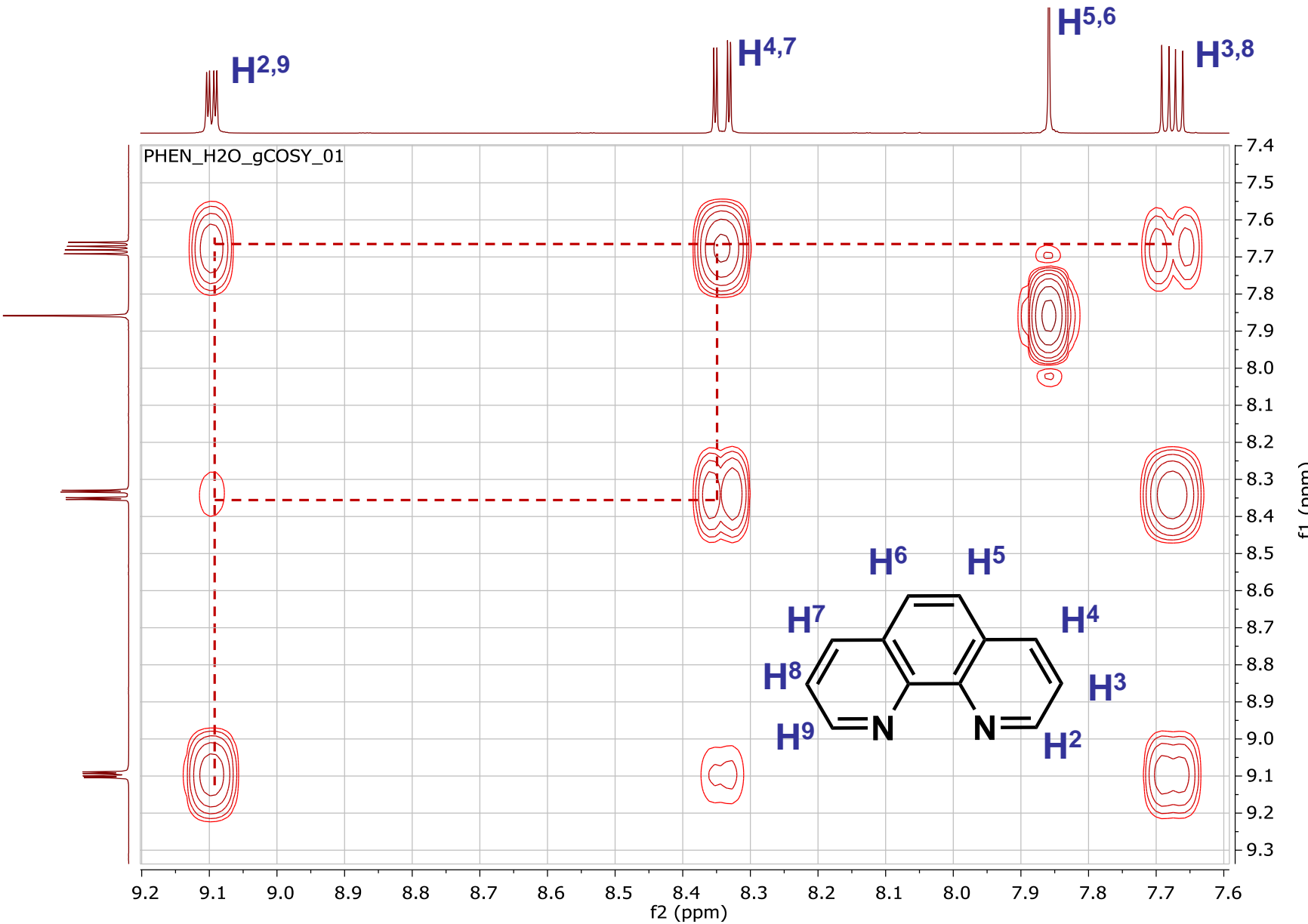


**Sostituente
elettron-accettore
(EWG)**

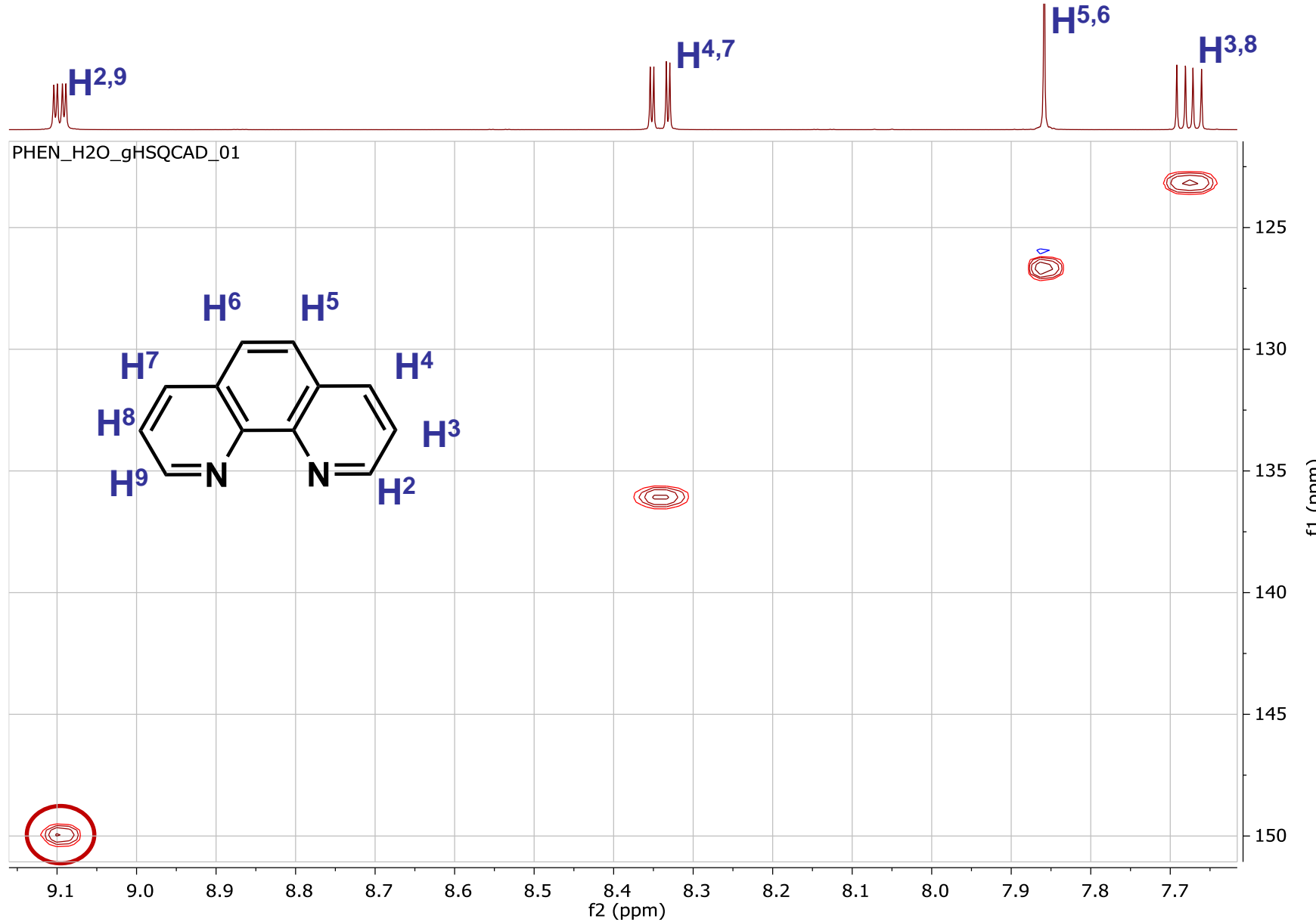
Spettro $^1\text{H-NMR}$ della 1,10-fenantrolina in CD_3CN



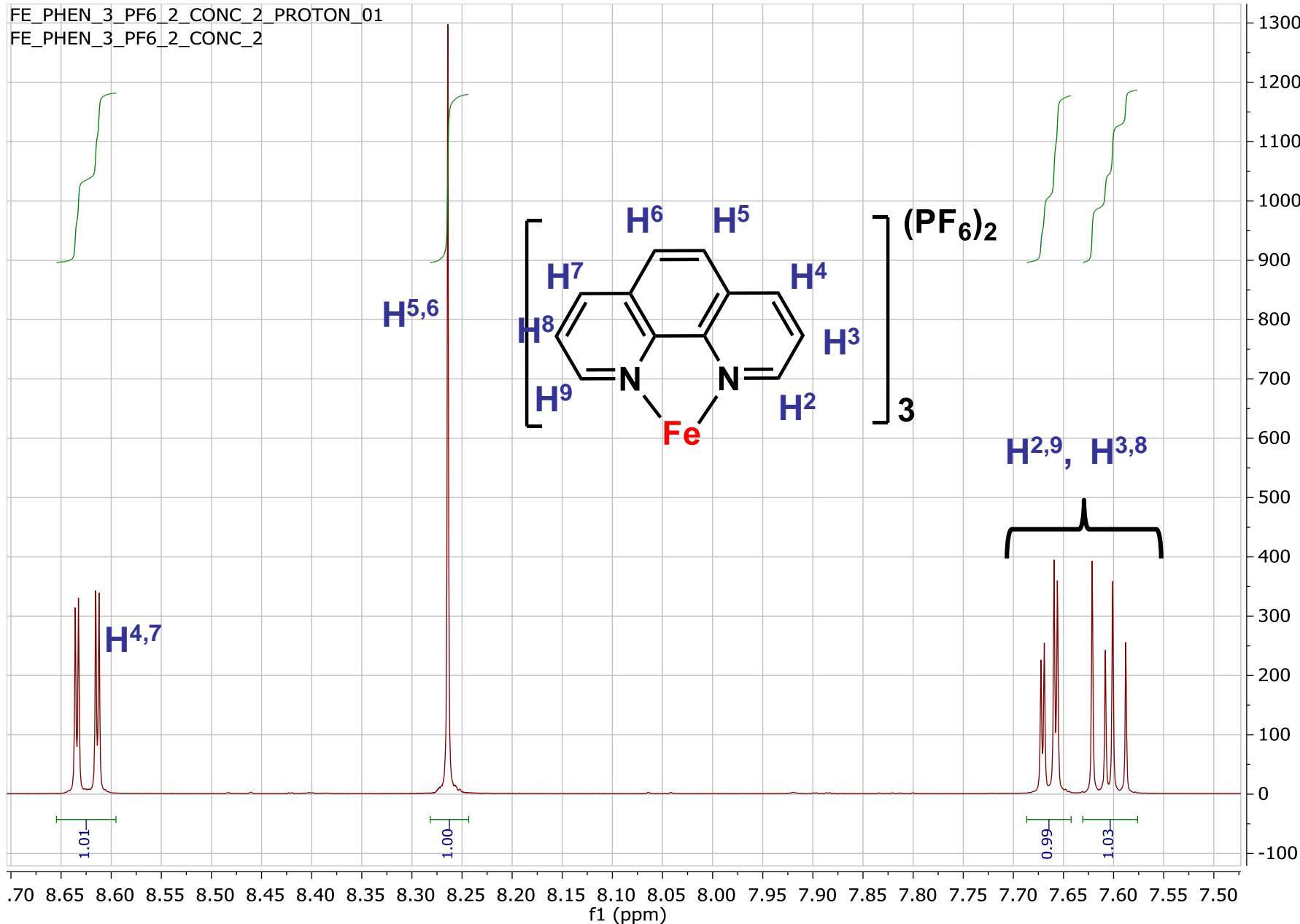
Spettro $^1\text{H},^1\text{H}$ -COSY della 1,10-fenantrolina in CD_3CN



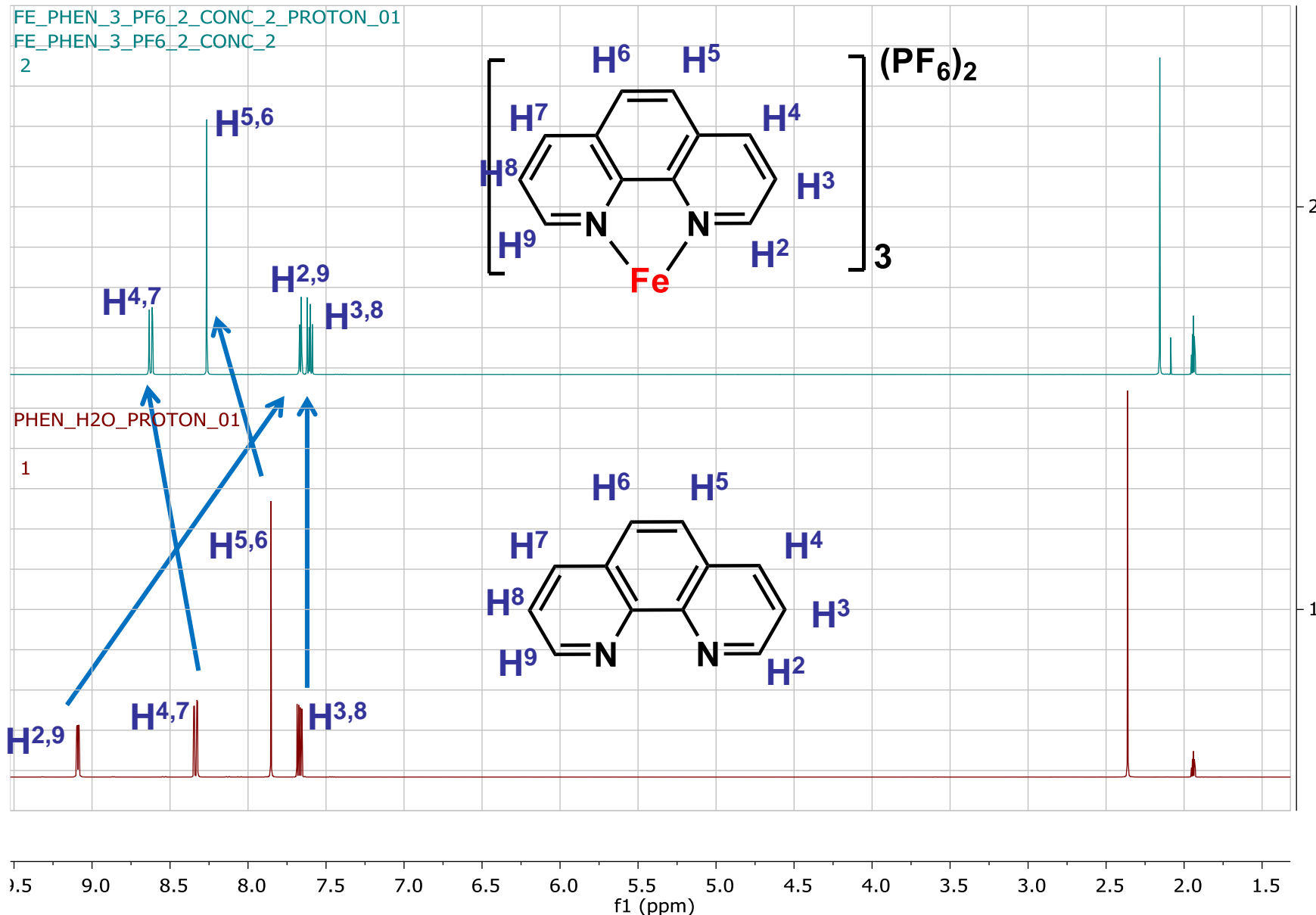
Spettro $^1\text{H}, ^{13}\text{C}$ -HSQC della 1,10-fenantrolina in CD_3CN



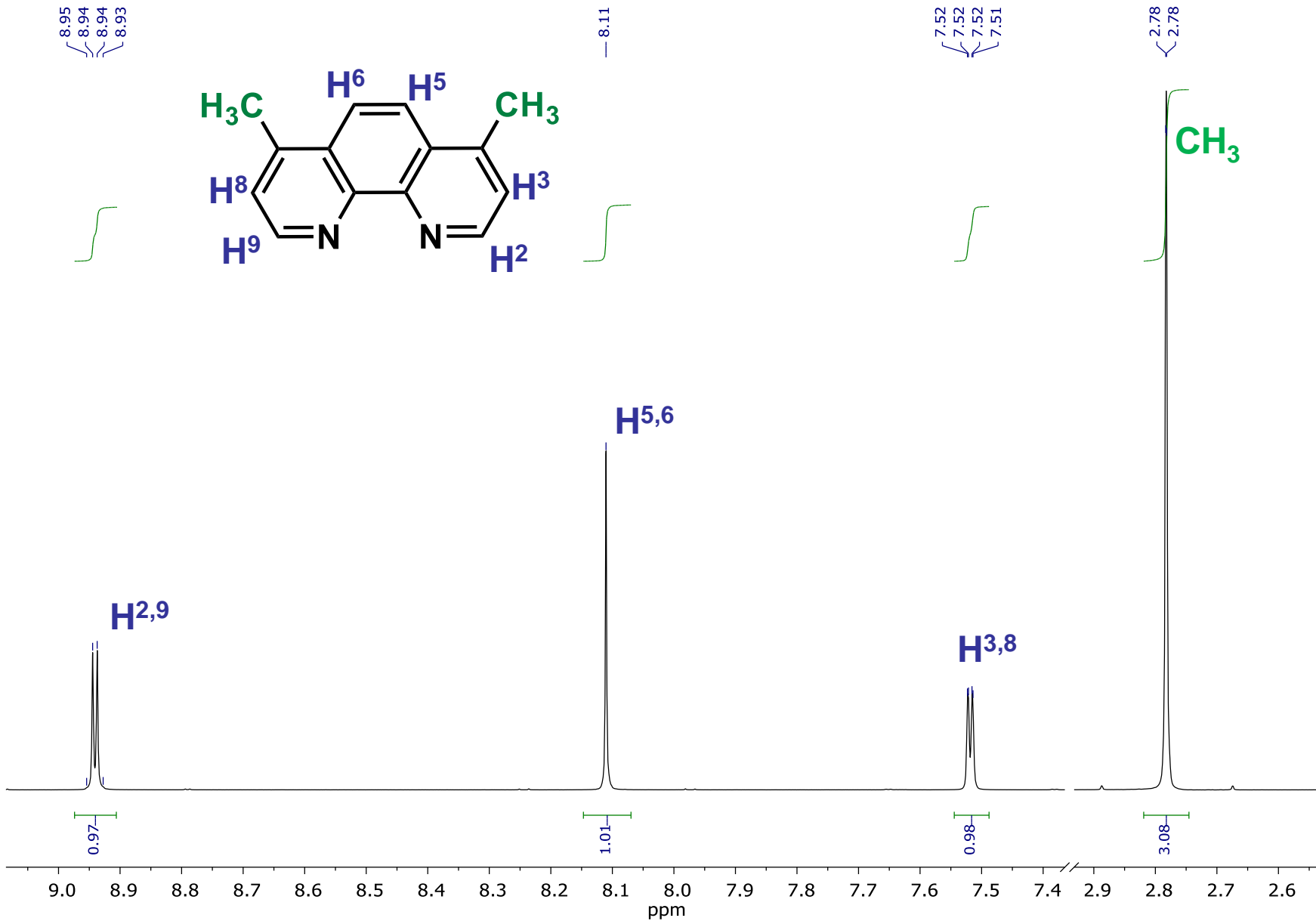
Spettro $^1\text{H-NMR}$ del complesso $[\text{Fe}(\text{phen})_3](\text{PF}_6)_2$ in CD_3CN



Confronto spettri $^1\text{H-NMR}$ del legante e del complesso di Fe

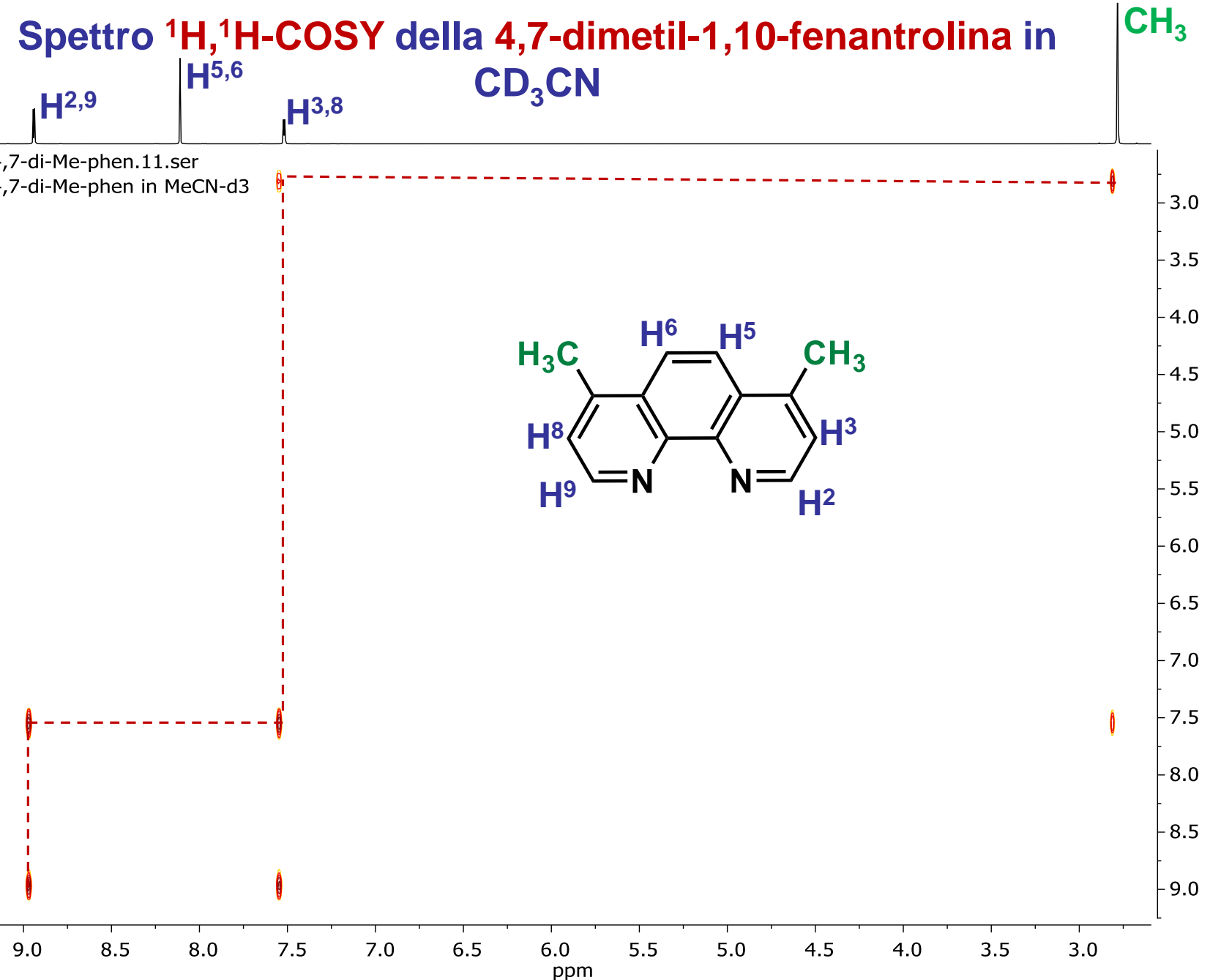
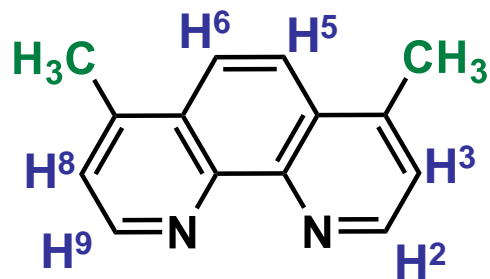


Spettro $^1\text{H-NMR}$ della 4,7-dimetil-1,10-fenantrolina in CD_3CN

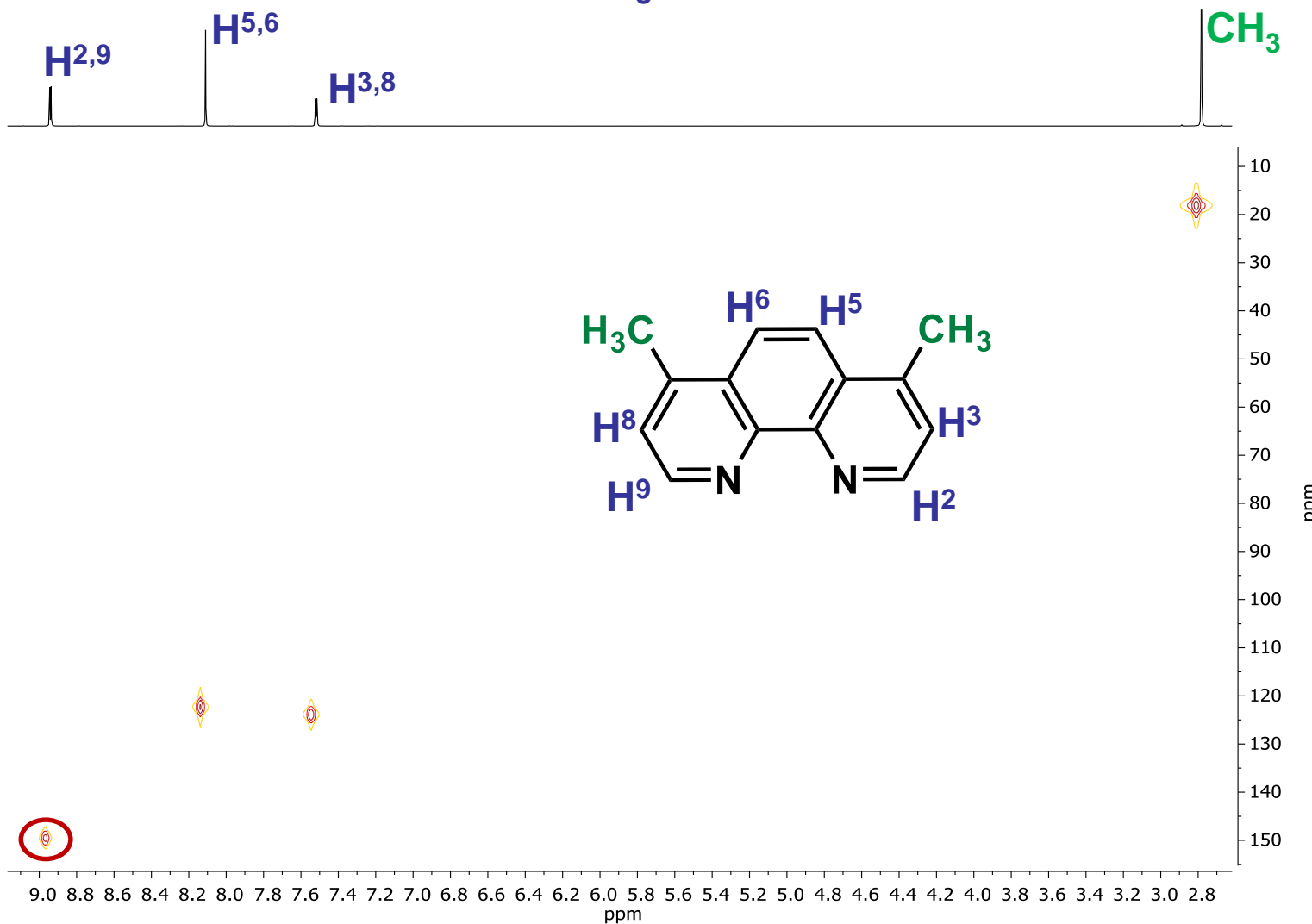


Spettro ^1H , ^1H -COSY della 4,7-dimetil-1,10-fenantrolina in CD_3CN

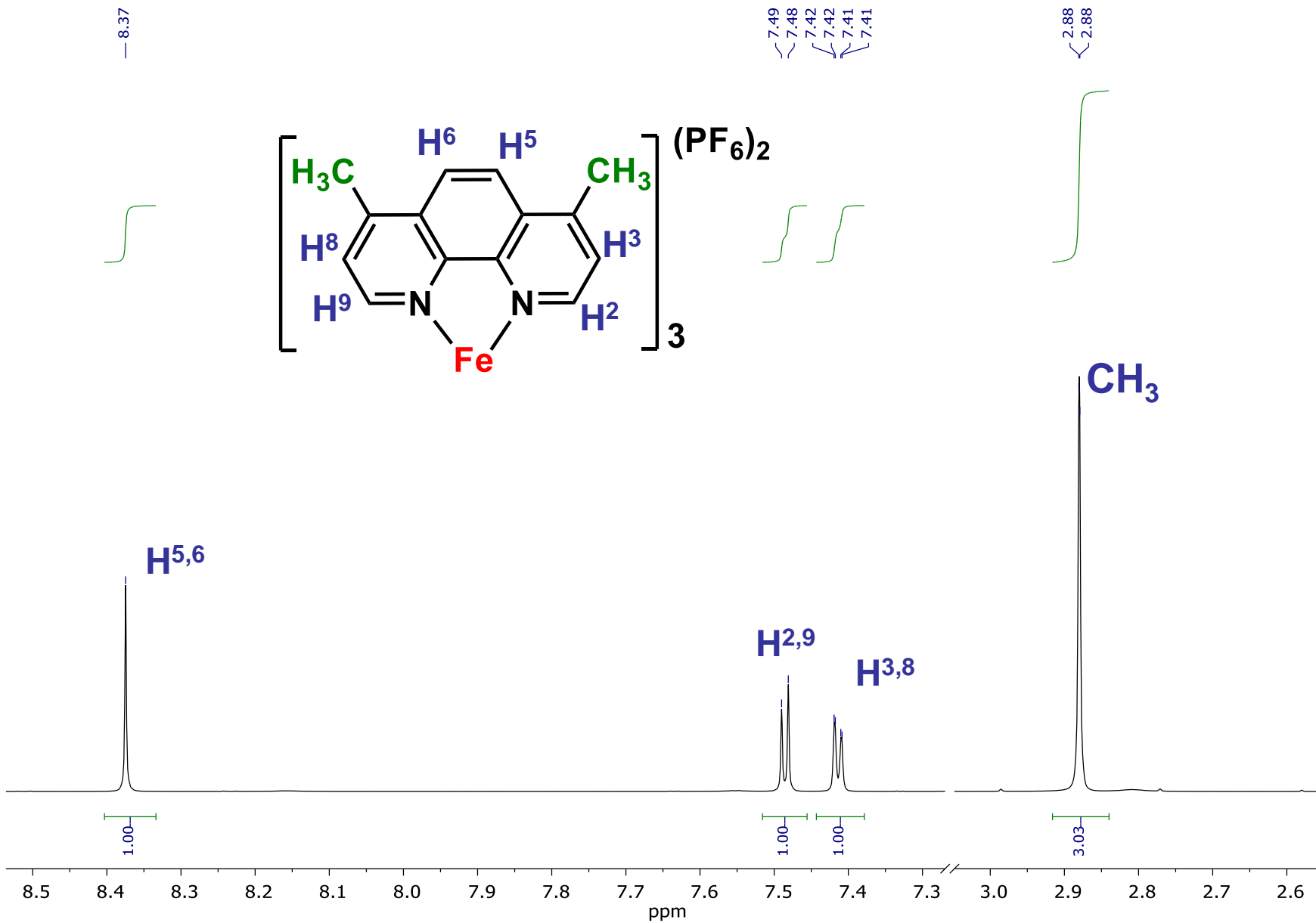
4,7-di-Me-phen.11.ser
4,7-di-Me-phen in MeCN-d3



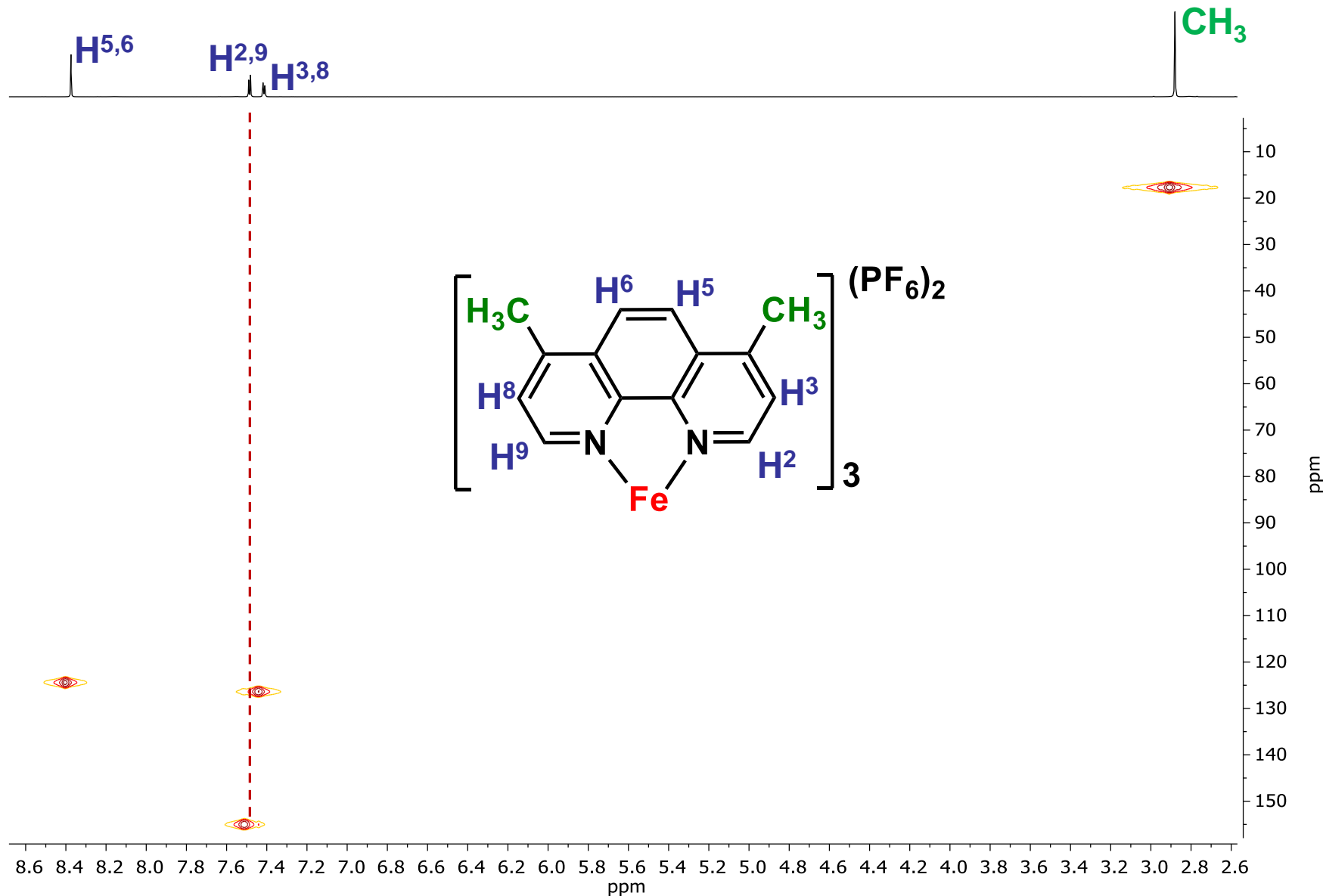
Spettro $^1\text{H}, ^{13}\text{C}$ -HSQC della 4,7-dimetil-1,10-fenantrolina in CD_3CN



Spettro $^1\text{H-NMR}$ del complesso $[\text{Fe}((\text{CH}_3)_2\text{-phen})_3](\text{PF}_6)_2$ in CD_3CN



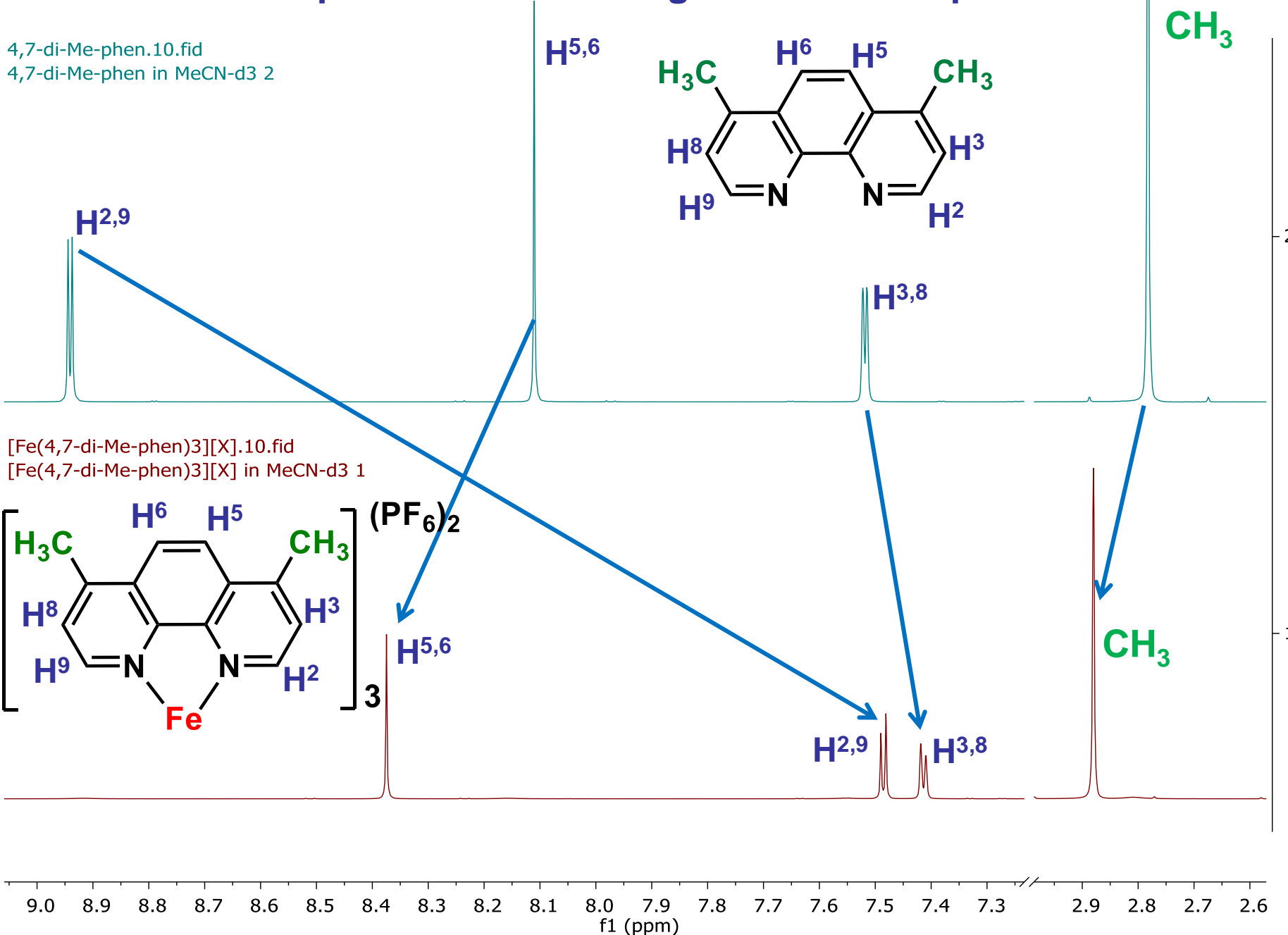
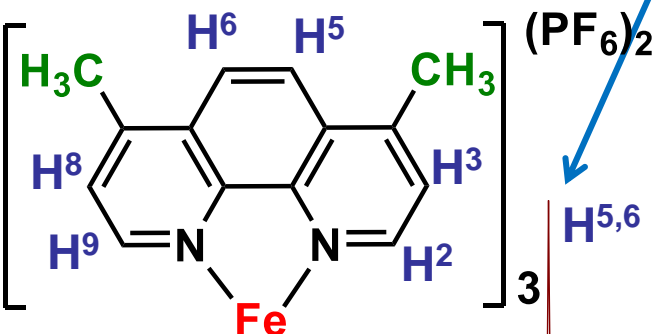
Spettro $^1\text{H}, ^{13}\text{C}$ -HSQC del complesso $[\text{Fe}((\text{CH}_3)_2\text{-phen})_3](\text{PF}_6)_2$ in CD_3CN



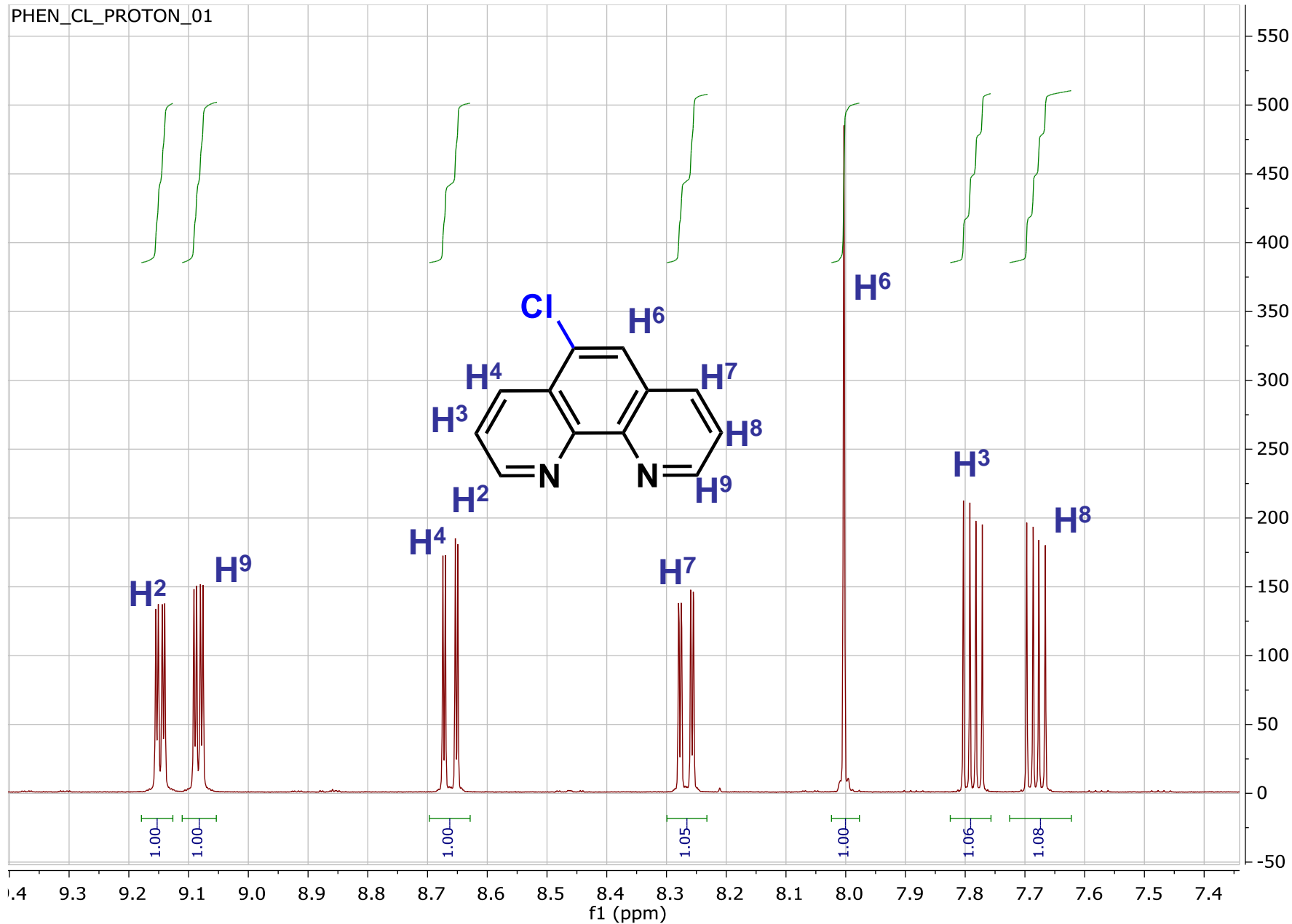
Confronto spettri $^1\text{H-NMR}$ del legante e del complesso di Fe

4,7-di-Me-phen.10.fid
4,7-di-Me-phen in MeCN-d3 2

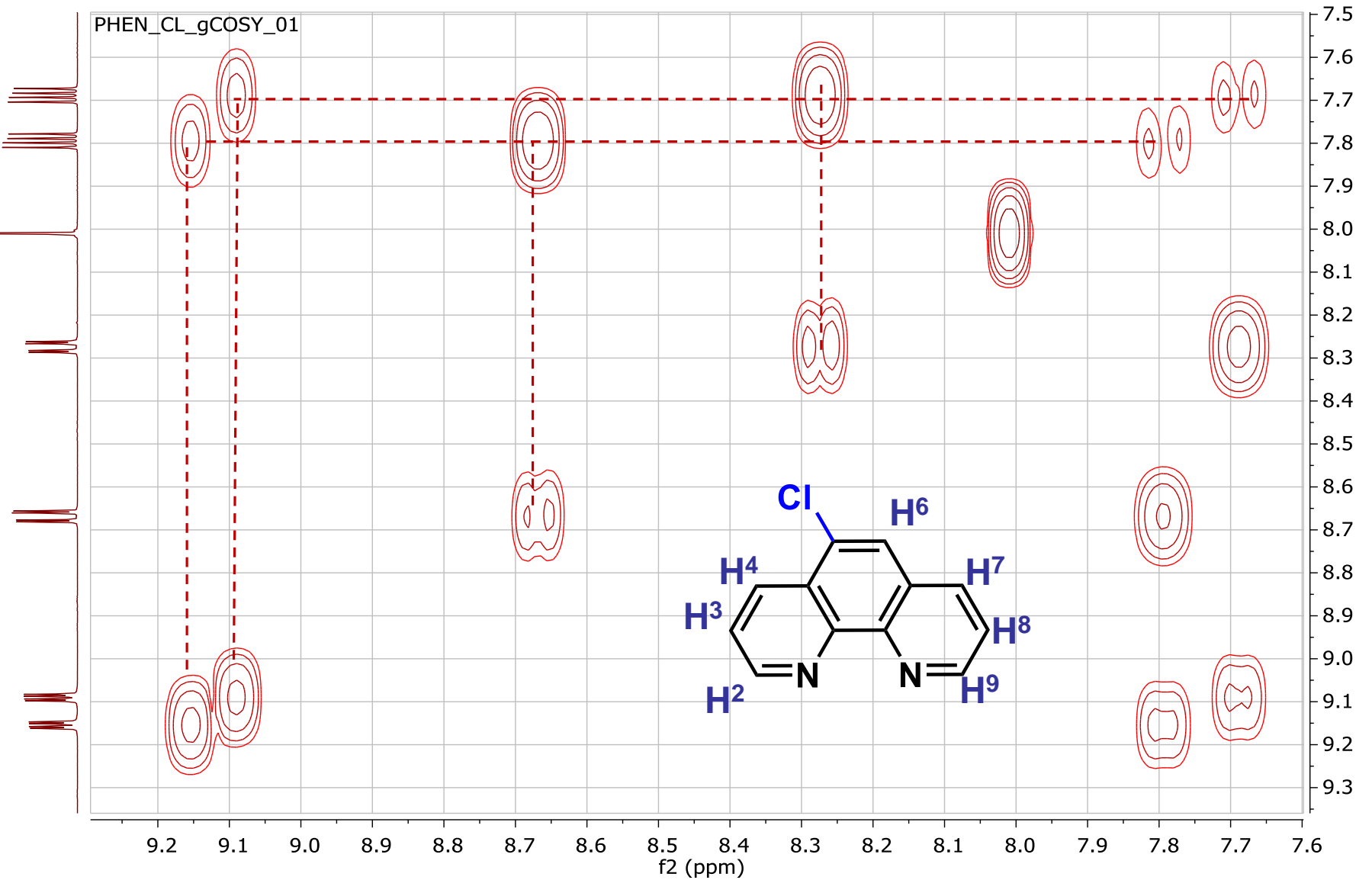
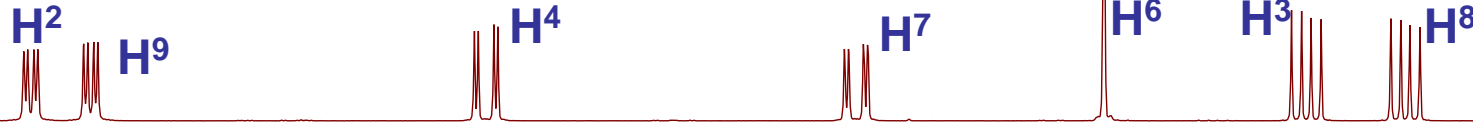
[Fe(4,7-di-Me-phen)3][X].10.fid
[Fe(4,7-di-Me-phen)3][X] in MeCN-d3 1



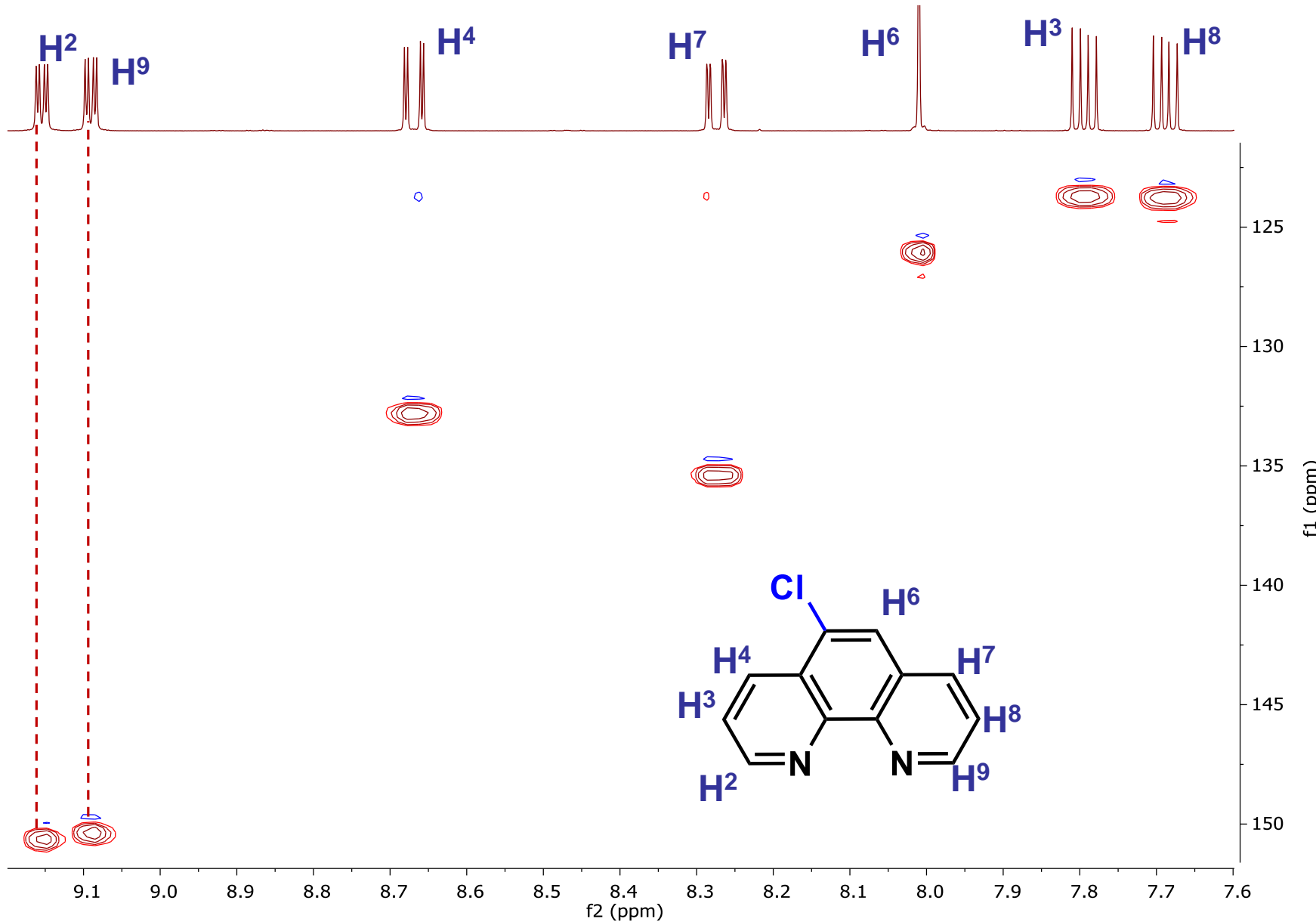
Spettro $^1\text{H-NMR}$ della 5-cloro-1,10-fenantrolina in CD_3CN



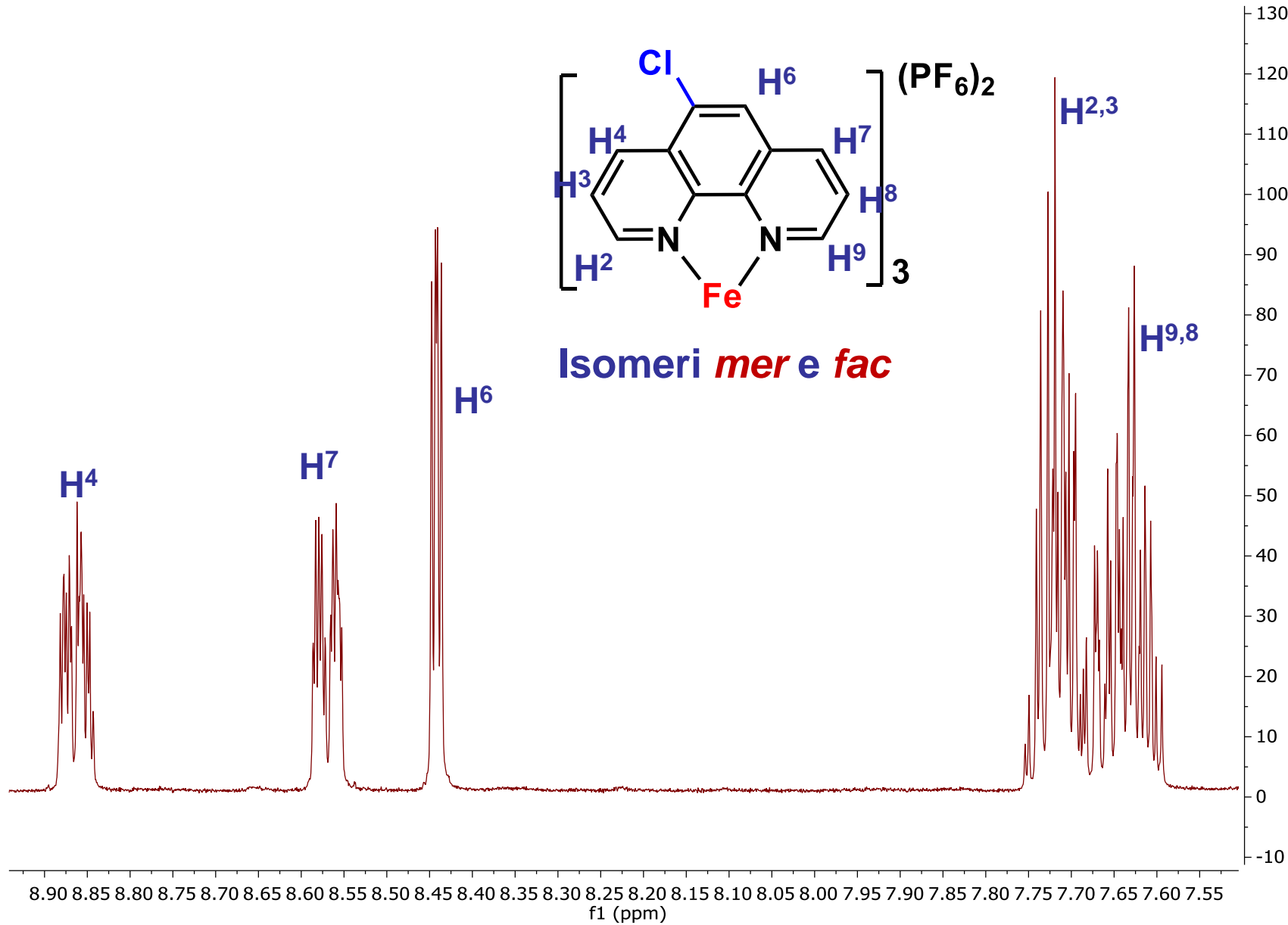
Spettro ^1H , ^1H -COSY della 5-cloro-1,10-fenantrolina in CD_3CN



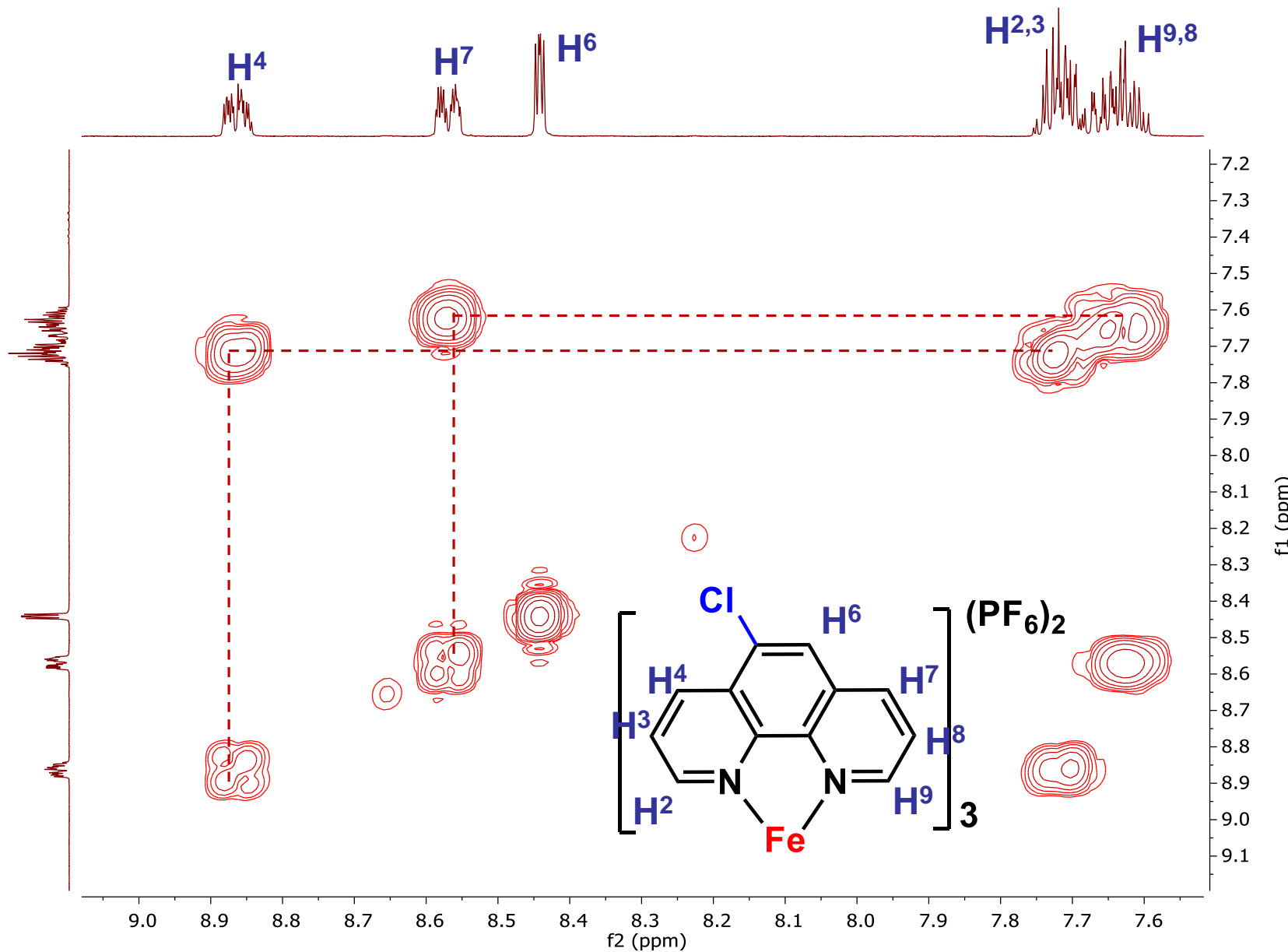
Spettro $^1\text{H}, ^{13}\text{C}$ -HSQC della 5-Cl-1,10-fenantrolina in CD_3CN



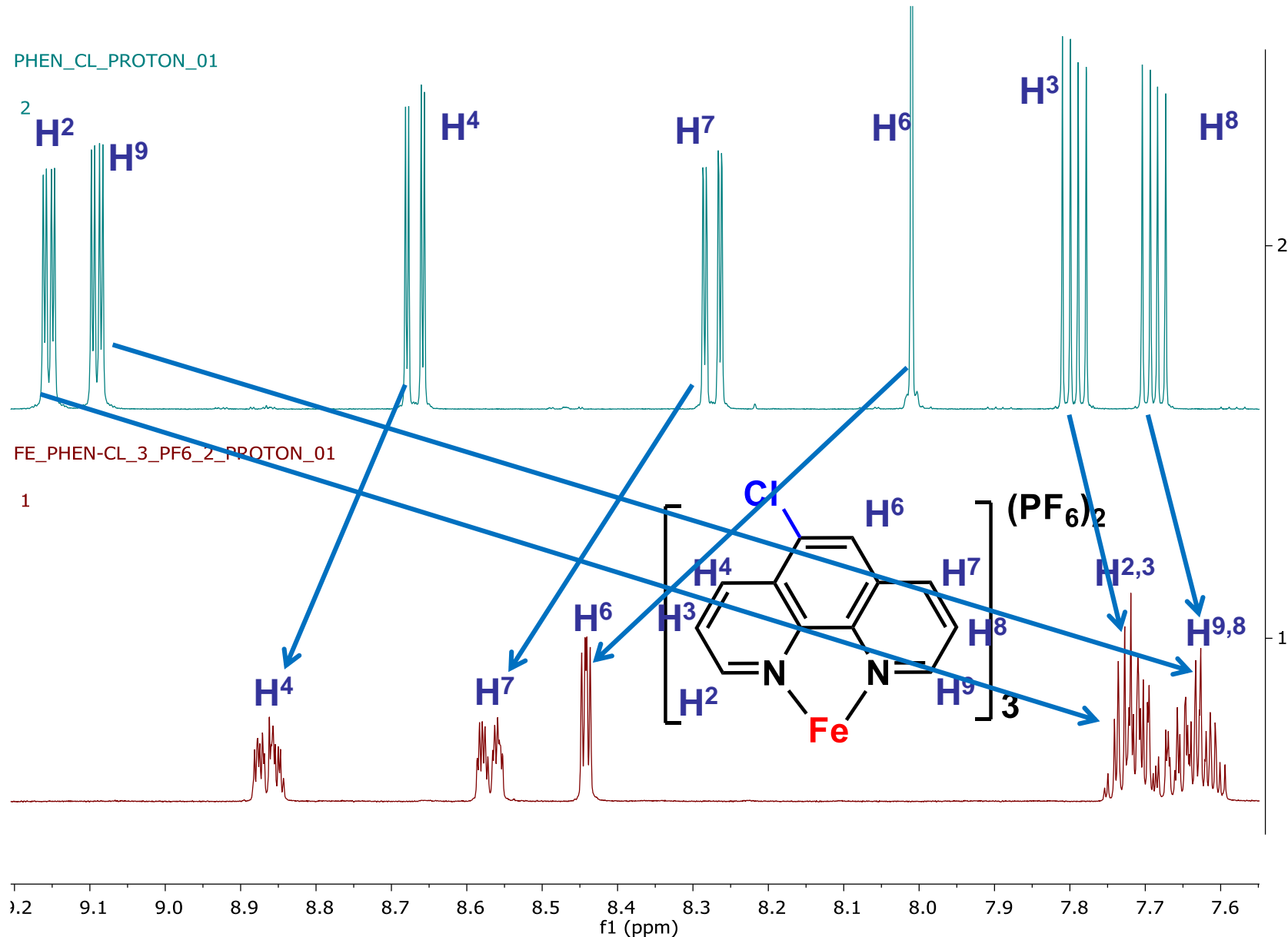
Spettro $^1\text{H-NMR}$ del complesso $[\text{Fe}(\text{Cl-phen})_3](\text{PF}_6)_2$ in CD_3CN



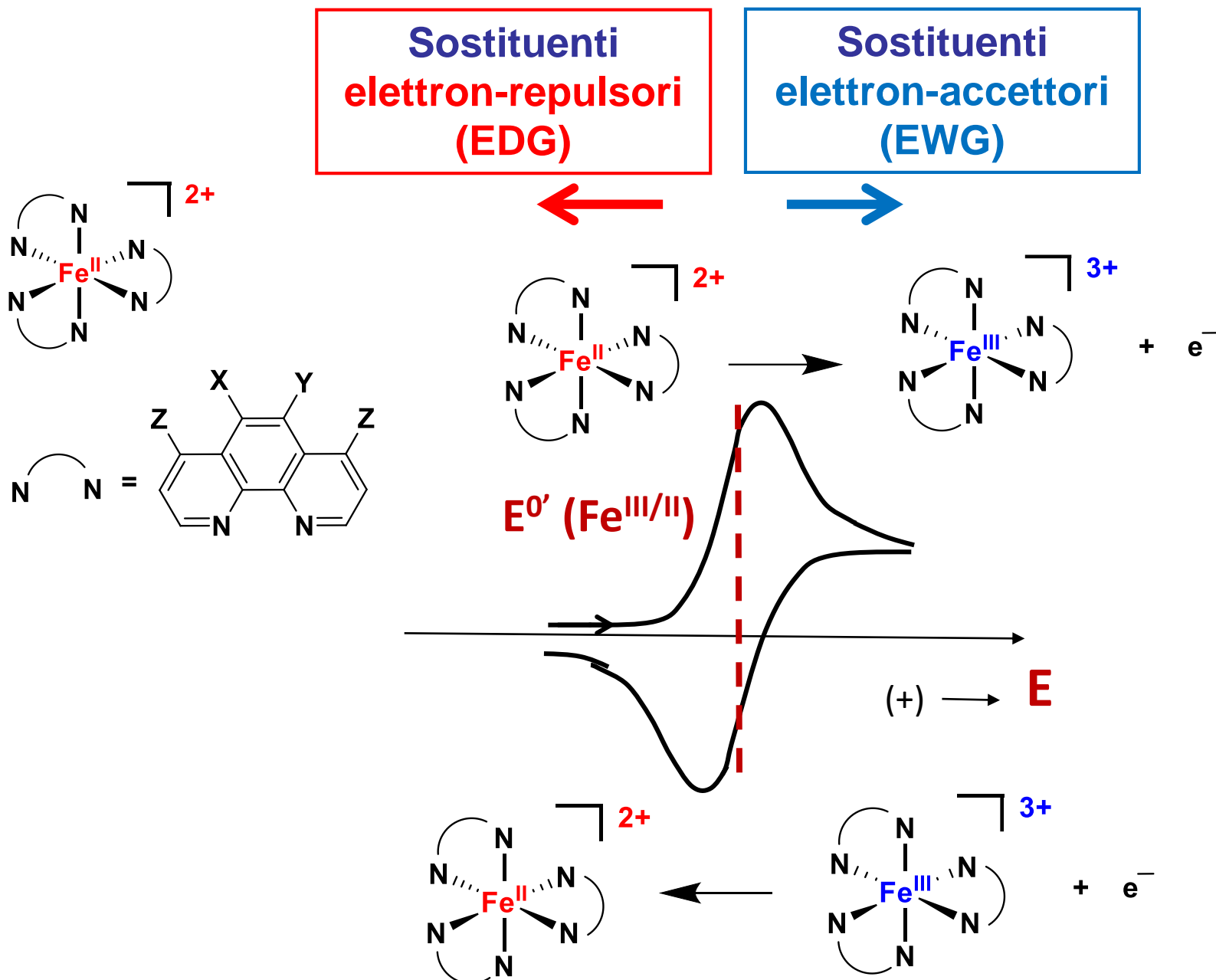
Spettro $^1\text{H},^1\text{H}$ -COSY della 5-Cl-1,10-fenantrolina in CD_3CN



Confronto spettri $^1\text{H-NMR}$ del legante e del complesso di Fe



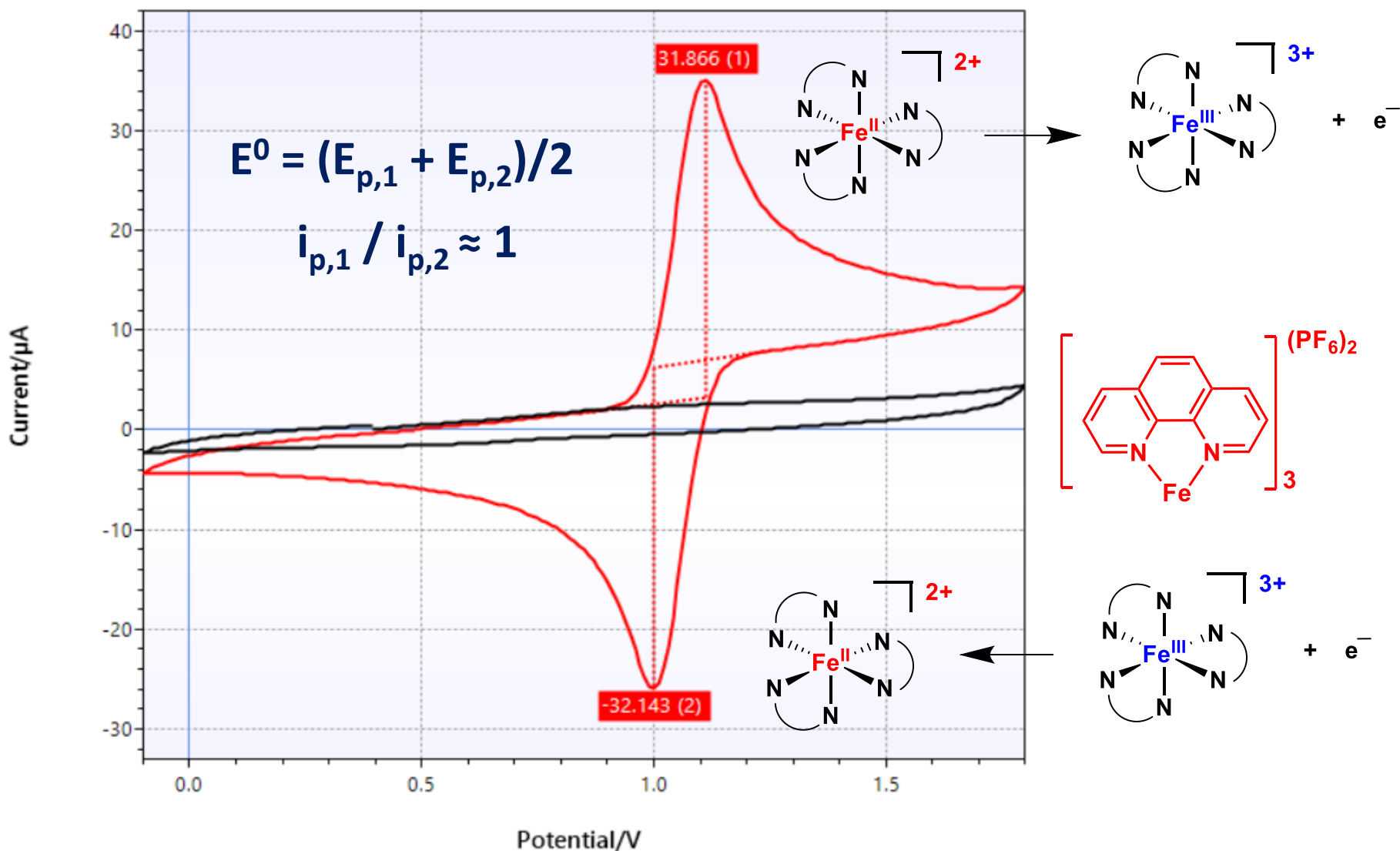
EFFETTO ELETTRONICO DEI SOSTITUENTI SUL POTENZIALE REDOX



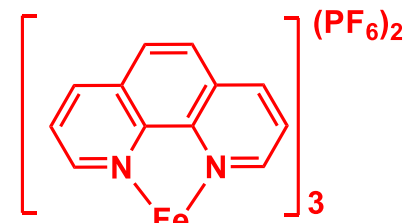
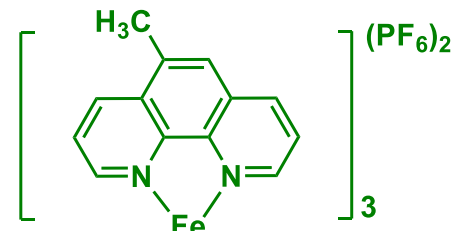
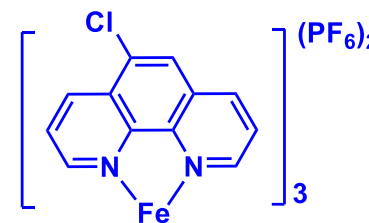
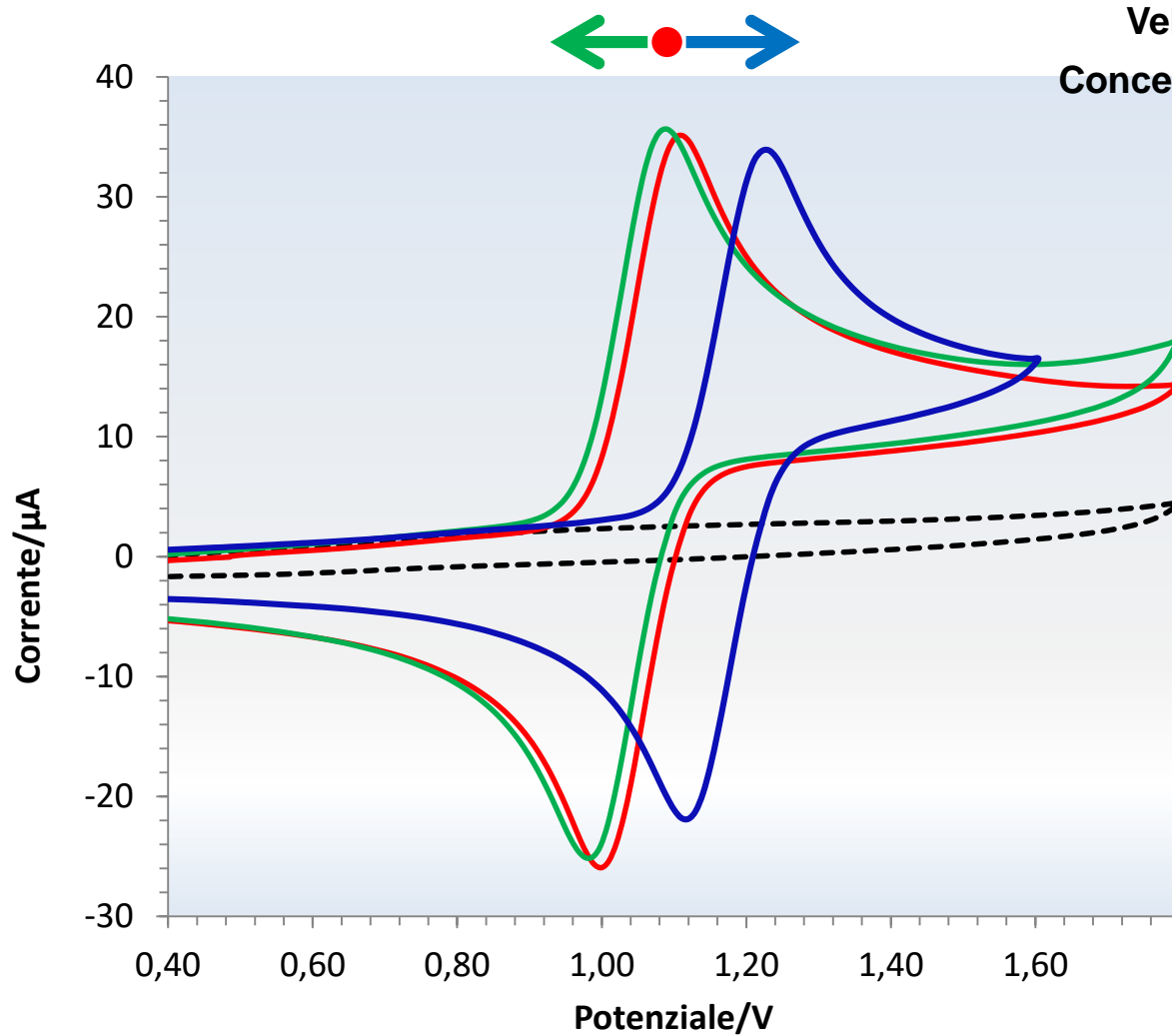
Voltammetria ciclica dei complessi di Fe(II)

Processo reversibile

Fe^{III/II}



EFFETTO ELETTRONICO dei sostituenti del legante sul potenziale redox Fe^{III/II}



Complesso	E_{p1}, E_{p2} (V vs Ag/AgCl)	E^0 (V vs. Ag/AgCl)	E^0 (V vs. $Fe^{+/-}$) ^a	E^0 (V vs. $Fe^{+/-}$) ^a Letteratura ^b
CH ₃ -phen	1.09 0.98	1.03	0.69	0.67
phen	1.11 1.00	1.06	0.72	0.70
Cl-phen	1.23 1.12	1.18	0.84	0.80

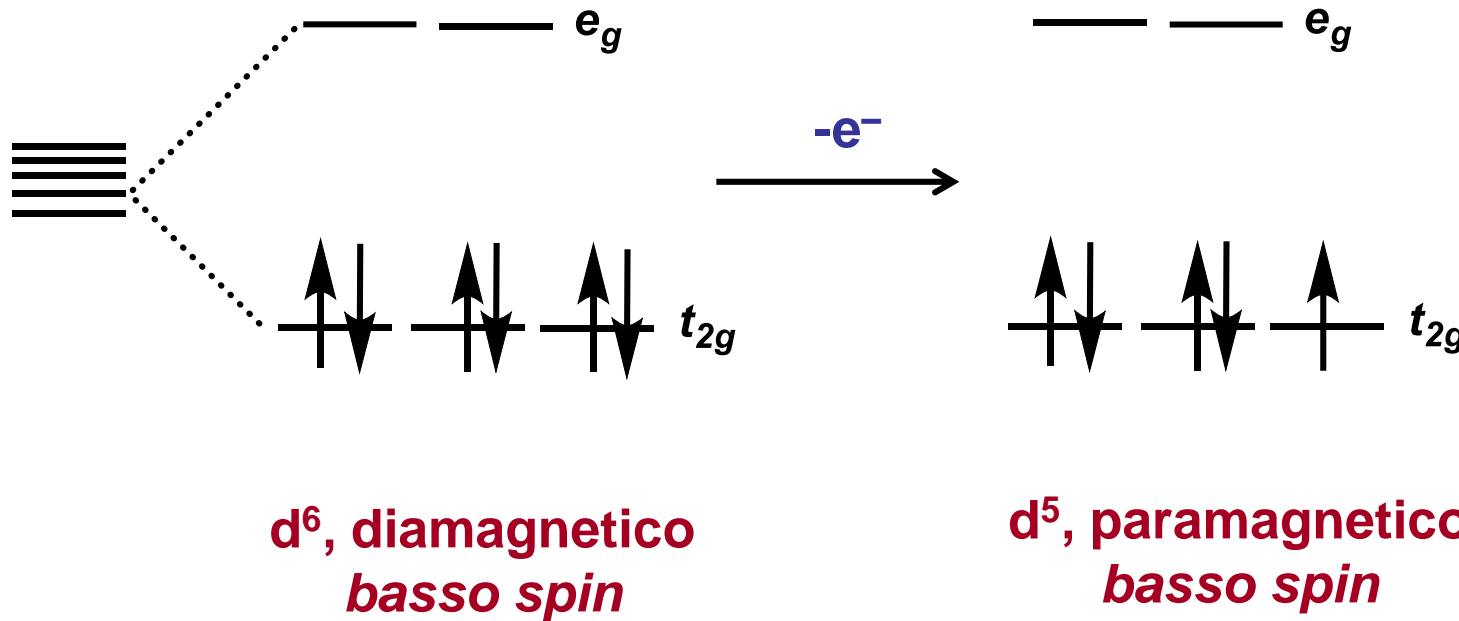
^a $E^0 Fe^{+/-}$ (vs. Ag/AgCl) = 0.34 V

^b H. Ferreira et al. , *Electroch. Acta* 216 (2016) 339–346

E^0 (Fe^{III/II}): CH₃-phen < phen < Cl-phen

1,10-fenantrolina = legante a campo forte

Geometria ottaedrica



Trasferimento elettronico molto veloce

Fe-N ($[\text{Fe}^{\text{II}}(\text{phen})_3]^{2+}$) \approx Fe-N ($[\text{Fe}^{\text{III}}(\text{phen})_3]^{3+}$) \approx 1.97 Å